



## جفت‌شدگی قوی دینامیک مغناطش دو لایه آنتی‌فرومغناطیس به واسطه فونون‌ها

مجید شیردل هاور و بابک زارع

دانشکده فیزیک، دانشگاه علم و صنعت ایران، تهران

bzarer@iust.ac.ir پست الکترونیکی:

(دریافت مقاله: ۱۴۰۱/۰۹؛ دریافت نسخه نهایی: ۱۴۰۱/۱۰)

چکیده:

جفت‌شدگی قوی و بلندبرد دینامیک مغناطش دو لایه آنتی‌فرومغناطیس به واسطه فونون‌های منتقل شده توسط یک عایق غیرمغناطیسی مورد بررسی قرار گرفته است. دینامیک مغناطش در یکی از لایه‌های آنتی‌فرومغناطیس از طریق برهمکنش مغناطوکشسانی منجر به برانگیختگی فونون‌ها و پمپاژ آنها به لایه غیرمغناطیسی می‌شود. انتقال فونون‌ها، که با خود تکانه زاویه‌ای حمل می‌کنند، از طریق عایق غیرمغناطیسی از یک لایه آنتی‌فرومغناطیس به لایه دیگر، منجر به ایجاد به یک طرح تداخلی در طیف جذب می‌شود که بیانگر جفت‌شدگی دینامیک مغناطش دو لایه است.

**واژه‌های کلیدی:** آنتی‌فرومغناطیس، برهمکنش مغناطوکشسانی، جفت‌شدگی مگنون-فونون

بین فونون‌ها و مگنون‌ها می‌تواند سازوکارهایی را برای برانگیختگی، دست‌کاری و شناسایی مگنون‌ها از طریق جفت‌شدگی با مدهای فونونی فراهم سازد. پژوهش‌های پیشین نشان داده است که مگنون‌های فرومغناطیس، که بسامدهای تشدید ذاتی‌شان در محدوده موج میکرو (در حدود چند GHz) قرار دارند، می‌توانند با فونون‌های آکوستیکی در نانولایه‌های فرومغناطیسی جفت شوند [۱۰-۱۲].

پمپاژ فونون‌های آکوستیکی از لایه فرومغناطیس به یک لایه عایق غیرمغناطیسی متصل به آن از طریق برهمکنش مغناطوکشسانی می‌تواند باعث افزایش میرایی دینامیک مغناطش شود [۱۳ و ۱۴]. در ساختار دیگری مشکل از یک نانوسیم فرومغناطیسی که روی که عایق آکوستیکی قرار دارد، امکان تولید جریان‌های فونونی سطحی یک‌سویه توسط دینامیک مغناطش و به دلیل جفت‌شدگی مغناطوکشسانی، پیش‌بینی [۱۵-۱۷] و همینطور مشاهده [۱۸ و ۱۹] شده است.

### ۱. مقدمه

دست‌یابی به ترابرد اسپینی بلندبرد از طریق عایق‌های الکتریکی یکی از اهداف مهم در تحقق ادوات اسپینترونیکی است [۱ و ۲]. تمرکز اصلی در پژوهش‌های انجام شده عمدتاً بر روی عایق‌های مغناطیسی بوده که در آن‌ها اسپین توسط برانگیختگی‌های پارامتر نظم مغناطیسی یعنی مگنون‌ها حمل می‌شود. با این‌حال، اخیراً نشان داده شده است که دینامیک مغناطش در یک فرومغناطیس می‌تواند جریان اسپینی را به یک عایق غیرمغناطیسی مجاور تزریق کند [۷-۳]؛ مشابه پمپاژ اسپینی که در سطح مشترک فرومغناطیس و یک فلز معمولی اتفاق می‌افتد [۸]. در این مورد، اسپین به دلیل برهمکنش مغناطوکشسانی، توسط فونون‌های آکوستیکی عرضی با قطبش دایروی حمل می‌شود [۹، ۱۰ و ۱۱]. فونون‌های آکوستیکی در موادی با میرایی آکوستیکی پایین، نامزدی بسیار مناسب برای دست‌یابی به جفت‌شدگی قوی با مواد مغناطیسی هستند [۱۱]. در این مواد، برهمکنش قوی

به ضخامت  $l$  که بین دو لایه عایق آنتی فرومغناطیسی به ضخامت  $d$ ، همان‌طور که در شکل ۱ نشان داده شده، قرار گرفته است.

انرژی آزاد این ساختار عبارت است از:

$$\mathcal{U} = \mathcal{U}_{\text{mag}} + \mathcal{U}_{\text{el}} + \mathcal{U}_{\text{mec}}, \quad (1)$$

که  $\mathcal{U}_{\text{mag}}$  انرژی مغناطیسی،  $\mathcal{U}_{\text{el}}$  انرژی کشسانی و  $\mathcal{U}_{\text{mec}}$  انرژی مغناطوکشسانی هستند. آنتی فرومغناطیس دو زیرشبكه با مغناطش‌های  $\mathbf{M}_a$  و  $\mathbf{M}_b$  دارد. دینامیک آنتی فرومغناطیس در حد پیوستار (حد طول موج-بلند) معمولاً با استفاده از بردار مغناطش  $\mathbf{M} = (\mathbf{M}_a + \mathbf{M}_b)/2 = |\mathbf{M}| \mathbf{m}$  و بردار نیل  $\mathbf{L} = (\mathbf{M}_a - \mathbf{M}_b)/2 = |\mathbf{L}| \mathbf{n}$  توصیف می‌شود، که  $\mathbf{m}$  و  $\mathbf{n}$  در دو شرط  $\mathbf{n} \cdot \mathbf{m} = 0$  و  $\mathbf{n}^\dagger + \mathbf{m}^\dagger = 1$  صدق می‌کنند. آنتی فرومغناطیسی با رابطه زیر داده می‌شود [۲۴]:

$$\mathcal{U}_{\text{mag}} = \frac{M_s}{\gamma} \int \left( \frac{\theta}{2} \mathbf{m}^\dagger + \frac{\nu}{2} [\nabla \mathbf{n}]^\dagger - \gamma \mu \mathbf{H}_{\text{ext}} \cdot \mathbf{m} - \frac{K}{2} n_z^\dagger \right) dV, \quad (2)$$

که  $\theta$  و  $\nu$  به ترتیب ثابت تبادل بین-و درون-شبکه‌ای،  $K$  ثابت ناهمسانگردی و  $\mathbf{H}_{\text{ext}}$  میدان مغناطیسی خارجی است. در حد طول موج-بلند، انرژی مغناطوکشسانی که جفت‌شدگی مغناطش با شبکه بلوری را توصیف می‌کند برای یک آنتی فرومغناطیس با رابطه زیر داده می‌شود [۲۴]:

$$\mathcal{U}_{\text{mec}} = \sum_{\alpha, \beta} \int_V B_{\alpha\beta} n_\alpha(\mathbf{r}) n_\beta(\mathbf{r}) S_{\alpha\beta}(\mathbf{r}) dV, \quad (3)$$

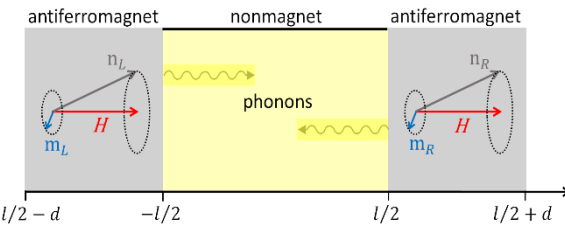
که  $B_{\alpha\beta} = \delta_{\alpha\beta} B_{||} + (1 - \delta_{\alpha\beta}) B_{\perp}$  ثابت‌های مغناطوکشسانی‌اند، که در آن  $\alpha, \beta = x, y, z$  و  $V$  حجم لایه آنتی فرومغناطیس است.

در اینجا  $S_{\alpha\beta}(\mathbf{r}) = [\partial u_\alpha(\mathbf{r}) / \partial r_\beta + \partial u_\beta(\mathbf{r}) / \partial r_\alpha] / 2$  تانسور کرنش است، که در آن  $u(\mathbf{r})$  جابه‌جایی کوچک از حالت تعادل است.

دینامیک بردارهای  $\mathbf{m}$  و  $\mathbf{n}$  با استفاده از معادله لانداؤ-لیفسیتر-گیلبرت توصیف می‌شود:

$$\dot{\mathbf{m}} = -\gamma \mu_0 (\mathbf{m} \times \mathbf{H}_{\text{eff},m} + \mathbf{n} \times \mathbf{H}_{\text{eff},n}) + \alpha_G (\mathbf{m} \times \mathbf{m} + \mathbf{n} \times \dot{\mathbf{n}}), \quad (4)$$

$$\dot{\mathbf{n}} = -\gamma \mu_0 (\mathbf{m} \times \mathbf{H}_{\text{eff},n} + \mathbf{n} \times \mathbf{H}_{\text{eff},m}) + \alpha_G (\mathbf{m} \times \dot{\mathbf{n}} + \mathbf{n} \times \dot{\mathbf{m}}), \quad (5)$$



شکل ۱. ساختاری سه‌لایه متشکل از یک عایق غیرمغناطیسی (لایه مرکزی) که بین دو لایه عایق آنتی فرومغناطیس با بردار مغناطش  $\mathbf{m}$  و بردار نیل  $\mathbf{n}$  قرار گرفته است.

افزون بر این، تراپرد بلندبرد و همدوس اسپین از طریق جفت‌شدگی فونون‌های آکوستیکی قطبیده دایروی با مگنون‌ها در یک ساختار نامتجانس فرومغناطیس (لایه غیرمغناطیس/پیش‌بینی و مشاهده شده است [۴]. در بیش از یک دهه اخیر پیشرفت‌های سریعی در تراپرد اسپین در فرومغناطیس‌ها رخ داده است، با این حال تراپرد اسپینی مبتنی بر آنتی فرمغناطیس‌ها نیز به سرعت به عنوان نسل بعدی ظهرور کرده است.

حالات پایه آنتی فرمغناطیس بسیار پایدارتر از حوزه‌های فرمغناطیس است که معمولاً به اختلالات الکترورمغناطیسی کوچک حساس هستند [۲۰]. از سوی دیگر، به طور معمول مگنون‌های آنتی فرمغناطیس بسامدی در محدوده تراهertz (THz) دارند، که پتانسیل پردازش اطلاعات بسیار سریع‌تر از مگنون‌های فرمغناطیس را نشان می‌دهند [۲۰-۲۲]. علاوه بر این، جفت‌شدگی بین مگنون‌های آنتی فرمغناطیس و فونون‌ها به واسطه برهکش مغناطوکشسانی بررسی و تأیید شده است [۲۲-۲۴]. بنابراین، بررسی اثر جفت‌شدگی مگنون-فونون بر دینامیک مغناطش عایق‌های آنتی فرمغناطیس و تأثیر آن بر تراپرد تکانه زاویه‌ای در ساختارهای چندلایه می‌تواند مورد توجه باشد.

به همین منظور در این پژوهش، امکان دست‌یابی به جفت‌شدگی قوی و بلندبرد بین دینامیک مغناطش دو لایه عایق آنتی فرمغناطیس در یک ساختار ناهمگن شامل آنتی فرمغناطیس (لایه غیرمغناطیس/آنتی فرمغناطیس، مورد بررسی قرار گرفته است.

## ۲. پیکربندی و مدل نظری

به منظور بررسی اثرات برهمکنش مغناطوکشسانی، یک ساختار سه‌لایه عایق در نظر می‌گیریم، شامل یک عایق غیرمغناطیسی

که در آن شاخص  $s$  متناسب با حروف  $L$  و  $R$  به ترتیب بیانگر لایه آنتی فرو مغناطیس چپ و راست است و  $H_0 \equiv \gamma\mu_0 H$ . شایان ذکر است که با توجه به تقارن دورانی حول محور  $z$ ، هر یک از متغیرهای دینامیکی  $h_{\pm}$ ,  $n_{\pm}$ ,  $m_{\pm}$  و  $u_{\pm}$  در رابطه‌ای مشابه با  $q_{\pm} = q_x \pm iq_y$  صدق می‌کنند. در میدان‌های مغناطیسی کوچک‌تر از میدان بحرانی، که در آن گذار فاز به حالت وارونگی اسپین اتفاق می‌افتد، آنتی فرو مغناطیس‌ها دو ویژه حالت مگنونی دارند که علامت‌های + و - به ترتیب مربوط به مد چپگرد و مد راستگرد هستند [۲۵]. با رابطه زیر داده می‌شود:

$$u_{\pm}(z, t) = \begin{cases} A_{\pm} e^{ikz-i\omega t} + B_{\pm} e^{-ikz-i\omega t} & -d < z < -\frac{l}{2} \\ C_{\pm} e^{ikz-i\omega t} + D_{\pm} e^{-ikz-i\omega t} & -\frac{l}{2} < z < \frac{l}{2} \\ E_{\pm} e^{ikz-i\omega t} + F_{\pm} e^{-ikz-i\omega t} & \frac{l}{2} < z < \frac{l}{2} + d, \end{cases} \quad (12)$$

با بردارهای موج فونونی  $c_{\perp} k(\omega) = \sqrt{\omega^2 + 2i\eta\omega}$  و  $\tilde{c}_{\perp} \tilde{k}(\omega) = \sqrt{\omega^2 + 2i\tilde{\eta}\omega}$  سرعت کشسانی عرضی و ثابت میرایی کشسانی در لایه آنتی فرو مغناطیس (غیر مغناطیسی) هستند. ضرایب  $A_{\pm}$ , ...,  $F_{\pm}$  که وابسته به  $\omega$  هستند با استفاده از شرایط مرزی مناسب یعنی پیوستگی کشسانی و پایستگی تکانه خطی مگنون در فصل مشترک آنتی فرو مغناطیس غیر مغناطیس به دست می‌آیند. شرایط مرزی برای آنتی فرو مغناطیس چپ به صورت زیر داده می‌شود:

$$\begin{cases} u_{\pm}(-l/2^+) = u_{\pm}(-l/2^-) \\ j_{\pm}(-d-l/2^+) = B_{\pm} n_{\pm L} \\ j_{\pm}(-l/2^+) - j_{\pm}(-l/2^-) = -B_{\pm} n_{\pm R}. \end{cases} \quad (13)$$

و برای آنتی فرو مغناطیس راست به صورت زیر است:

$$\begin{cases} u_{\pm}(l/2^+) = u_{\pm}(l/2^-) \\ j_{\pm}(l/2^-) - j_{\pm}(l/2^+) = -B_{\pm} n_{\pm R} \\ j_{\pm}(d+l/2^-) = B_{\pm} n_{\pm L}. \end{cases} \quad (14)$$

که در آن  $j_{\pm}(z) = -\mu(z) \partial_z u_{\pm}(z)$  چگالی جريان تکانه عرضی است [۳]. مدول برشی  $\mu$  برای لایه غیر مغناطیسی و آنتی فرو مغناطیسی به ترتیب با  $\mu = \rho c_{\perp}$  و  $\tilde{\mu} = \tilde{\rho} \tilde{c}_{\perp}$  تعریف می‌شود و  $\rho$  چگالی جرمی متناظر است. اکنون با استفاده از شرایط مرزی بالا می‌توان ضرایب  $A_{\pm}$ , ...,  $F_{\pm}$  را

که  $\gamma$  ضریب ژیرومغناطیس و  $\alpha_G$  ثابت میرایی ذاتی (گیلبرت) است. در اینجا  $\mathbf{H}_{\text{eff},m(n)} = -\nabla_{m(n)} \mathcal{U} / (\mu_0 V M_s)$  میدان مغناطیسی مؤثر است که شامل سهم مغناطیسی  $\mathbf{H}_{\text{mag},m(n)} = -\nabla_{m(n)} \mathcal{U}_{\text{mag}} / (\mu_0 V M_s)$  و سهم مغناططوکشسانی  $\mathbf{H}_{\text{mec},m(n)} = -\nabla_{m(n)} \mathcal{U}_{\text{mec}} / (\mu_0 V M_s)$  است، که در آن  $M_s = M_{s,a} + M_{s,b}$  مجموع مغناطش اشباع دو زیر شبکه  $a$  و  $b$  است. با توجه به رابطه (۲)، به صورت زیر به دست می‌آید:

$$\mathbf{H}_{\text{mag},m} = -\frac{\vartheta}{\gamma\mu_0} \mathbf{m} + \mathbf{n} \times (\mathbf{H}_{\text{ext}} \times \mathbf{n}), \quad (6)$$

$$\mathbf{H}_{\text{mag},n} = \frac{V}{\gamma\mu_0} \nabla^r \mathbf{n} - \mathbf{m} (\mathbf{H}_{\text{ext}} \cdot \mathbf{n}) + \frac{K}{\gamma\mu_0} n_z \hat{\mathbf{z}}. \quad (7)$$

با توجه به این که میدان مغناطیسی خارجی در امتداد محور-آسان (جهت  $z$ ) آنتی فرو مغناطیس اعمال شده است، می‌توان بردارهای  $\mathbf{n} = \hat{\mathbf{z}} + \delta \mathbf{n}$  و  $\mathbf{m} = \delta \mathbf{m}$  را به صورت  $\mathbf{n} = \hat{\mathbf{z}} + \delta \mathbf{n} = m_x \hat{\mathbf{x}} + m_y \hat{\mathbf{y}}$  و  $\delta \mathbf{m} = m_x \hat{\mathbf{x}} + m_y \hat{\mathbf{y}}$  در نظر گرفت که در آن  $\delta \mathbf{n} = n_x \hat{\mathbf{x}} + n_y \hat{\mathbf{y}}$  مؤلفه‌های نوسانی و کوچک هستند. در نتیجه، انرژی مغناططوکشسانی برای لایه آنتی فرو مغناطیس با رابطه زیر به دست می‌آید:

$$\mathcal{U}_{\text{mec}} = B_{\perp} A \sum_{\alpha=x,y} n_{\alpha} [u_{\alpha}(z_r) - u_{\alpha}(z_l)], \quad (8)$$

که  $A$  مساحت سطح مقطع لایه آنتی فرو مغناطیس است، بنابراین خواهیم داشت:

$$\mathbf{H}_{\text{mec},m} = 0, \quad (9\text{a})$$

$$\mathbf{H}_{\text{mec},n} = -\frac{\omega_{\text{mec}}}{\gamma\mu_0 d} (\mathcal{R}_x \hat{\mathbf{x}} + \mathcal{R}_y \hat{\mathbf{y}}), \quad (9\text{b})$$

که  $\mathcal{R}_{x(y)} = u_{x(y)}(z_r) - u_{x(y)}(z_l)$  و  $\omega_{\text{mec}} = \gamma B_{\perp} / M_s$  با فرض  $\mathcal{R}_{z_1} = \mathcal{R}_{z_2}$ ، جایگزاری  $\mathbf{H}_{\text{eff},m(n)} = \mathbf{H}_{\text{mag},m(n)} + \mathbf{H}_{\text{mec},m(n)}$  در روابط (۴) و (۵) و با در نظر گرفتن میدان مغناطیسی خارجی به صورت  $\mathbf{H}_{\text{ext}} = (h_x \hat{\mathbf{x}} + h_y \hat{\mathbf{y}}) e^{-i\omega t} + H \hat{\mathbf{z}}$  نوسانی کوچک است، داریم

$$\dot{m}_{\pm s} = \pm (K - \nu \nabla^r) i n_{\pm s} \pm i H_{\perp} m_{\pm s} \pm i \alpha_G \dot{n}_{\pm s} \pm \frac{i \omega_{\text{mec}}}{d} [u_{\pm s}(z_r) - u_{\pm s}(z_l)], \quad (10)$$

$$\dot{n}_{\pm s} = \pm (K + \vartheta) i m_{\pm s} \pm i H_{\perp} n_{\pm s} \pm i \alpha_G \dot{m}_{\pm s} \mp i h_{\pm s}, \quad (11)$$

$$\Omega_{L(R)} = \gamma i \sin(kd/\gamma) \left[ \mathcal{A}_{L(R)} e^{-ik(l+d)/\gamma} - \mathcal{B}_{L(R)} e^{ik(l+d)/\gamma} \right],$$

$$\Psi_{L(R)} = \gamma i \sin(kd/\gamma) \left[ \mathcal{E}_{L(R)} e^{ik(l+d)/\gamma} - \mathcal{F}_{L(R)} e^{-ik(l+d)/\gamma} \right].$$

با جایگذاری این ضرایب در روابط (۱۰) و (۱۱) و سپس اعمال مشتق زمانی روی این دو رابطه و صرفنظر از جملات متناسب با  $\alpha_G^2$ ، نهایتاً برای دینامیک  $m_{\pm L}$  و  $m_{\pm R}$  در فضای بسامد داریم:

$$\begin{aligned} & \left\{ (\omega \pm H_0)^2 + i\omega\alpha_G (2K + \vartheta - \nu\nabla^2) - (K + \vartheta)(K - \nu\nabla^2) \right. \\ & - (\mathcal{A}_L + \mathcal{B}_L)(K + \vartheta - i\omega\alpha_G)\omega_{\text{mec}}/d \left. \right\} m_{\pm L} - (\mathcal{A}_R + \mathcal{B}_R) \\ & \times (K + \vartheta - i\omega\alpha_G)m_{\pm R}\omega_{\text{mec}}/d = -(\mathcal{A}_R + \mathcal{B}_R)h_{\pm R}\omega_{\text{mec}}/d \\ & - \left[ K - \nu\nabla^2 + (\mathcal{A}_L + \mathcal{B}_L)\omega_{\text{mec}}/d - i\omega\alpha_G \right] h_{\pm L}, \end{aligned} \quad (۲۶)$$

$$\begin{aligned} & \left\{ (\omega \pm H_0)^2 + i\omega\alpha_G (2K + \vartheta - \nu\nabla^2) - (K + \vartheta)(K - \nu\nabla^2) \right. \\ & - (\mathcal{E}_R + \mathcal{F}_R)(K + \vartheta - i\omega\alpha_G)\omega_{\text{mec}}/d \left. \right\} m_{\pm R} - (\mathcal{E}_L + \mathcal{F}_L) \\ & \times (K + \vartheta - i\omega\alpha_G)m_{\pm L}\omega_{\text{mec}}/d = -(\mathcal{E}_L + \mathcal{F}_L)h_{\pm L}\omega_{\text{mec}}/d \\ & - \left[ K - \nu\nabla^2 + (\mathcal{E}_R + \mathcal{F}_R)\omega_{\text{mec}}/d - i\omega\alpha_G \right] h_{\pm R}. \end{aligned} \quad (۲۷)$$

### ۳. توان جذب موج میکرو

دینامیک مغناطش در لایه آنتنی فرومغناطیس چپ (راست) می‌تواند منجر به برانگیختن فونون‌ها و پمپاژ آنها به عایق غیرمغناطیسی مجاور شود. این فرایند که همراه با انتقال تکانه زاویه‌ای توسط فونون‌ها است، می‌تواند منجر به یک میرایی اضافی علاوه بر میرایی ذاتی در دینامیک آنتنی فرومغناطیس‌ها شود که وابسته به بسامد و ضخامت لایه است [۲۶]. همانطور که از معادلات (۲۶) و (۲۷) استنباط می‌شود، دینامیک در دو لایه آنتنی فرومغناطیس از طریق انتقال فونون بر یکدیگر تأثیر گذاشته که منجر به جفت‌شدگی بلندبرد و غیرمستقیم آنها می‌شود. این جفت‌شدگی بلندبرد و همدوس بین دینامیک مغناطش دو لایه آنتنی فرومغناطیس در طیف جذب موج میکرو، که ابزاری کارامد در مطالعه سامانه‌های مغناطیسی است، قابل مشاهده است. توان جذب که به صورت تابعی از میدان مغناطیسی اعمالی و بسامد موج میکرو است با رابطه  $P_{\text{abs}}(H, \omega) \propto \text{Im}(h_s^* m_s)$  بررسی تأثیر برهمکنش مغناطوکشسانی در دینامیک مغناطش لایه‌های آنتنی فرومغناطیس، یک عایق غیرمغناطیسی (GGG) با ضخامت  $1/0$  میلی‌متر که بین دو لایه عایق آنتنی فرومغناطیس  $\text{Cr}_2\text{O}_3$  به ضخامت  $200$  نانومتر قرار گرفته، انتخاب شده است.

تعیین کرد. این ضرایب ترکیب خطی از  $n_{\pm L}$  و  $n_{\pm R}$  به صورت ...  $A_{\pm}(\omega) = \mathcal{A}_L(\omega)n_{\pm L} + \mathcal{A}_R(\omega)n_{\pm R}$  و  $F_{\pm}(\omega) = \mathcal{F}_L(\omega)n_{\pm L} + \mathcal{F}_R(\omega)n_{\pm R}$  هستند، که ضرایب  $\mathcal{A}_L, \dots$  و  $\mathcal{F}_R$  با روابط زیر داده می‌شوند:

$$\mathcal{A}_L = iB_{\perp} e^{i\tilde{k}l/\gamma} \left[ e^{ikL} \mathcal{N}^- \mathcal{J}^- - e^{-ikL} \mathcal{N}^+ \mathcal{J}^+ \right] / \gamma \tilde{\mu} \tilde{k} \mathcal{L}, \quad (۲۸\text{الف})$$

$$\mathcal{A}_R = -\gamma \mu i k B_{\perp} e^{i\tilde{k}(d+l/\gamma)} \sin^{\gamma}(\tilde{k}d/\gamma) / \mathcal{L}, \quad (۲۸\text{ب})$$

$$\mathcal{B}_L = iB_{\perp} e^{-i\tilde{k}l/\gamma} \left[ e^{-ikL} \mathcal{N}^+ \mathcal{K}^+ - e^{ikL} \mathcal{N}^- \mathcal{K}^- \right] / \gamma \tilde{\mu} \tilde{k} \mathcal{L}, \quad (۲۹\text{الف})$$

$$\mathcal{B}_R = -\gamma \mu i k B_{\perp} e^{-i\tilde{k}(d+l/\gamma)} \sin^{\gamma}(\tilde{k}d/\gamma) / \mathcal{L}, \quad (۲۹\text{ب})$$

$$\mathcal{C}_L = \gamma B_{\perp} \mathcal{N}^+ e^{-ikL/\gamma} \sin^{\gamma}(\tilde{k}d/\gamma) / \mathcal{L}, \quad (۳۰\text{الف})$$

$$\mathcal{C}_R = -\gamma B_{\perp} \mathcal{N}^- e^{ikL/\gamma} \sin^{\gamma}(\tilde{k}d/\gamma) / \mathcal{L}, \quad (۳۰\text{ب})$$

$$\mathcal{D}_L = \gamma B_{\perp} \mathcal{N}^- e^{ikL/\gamma} \sin^{\gamma}(\tilde{k}d/\gamma) / \mathcal{L}, \quad (۳۱\text{الف})$$

$$\mathcal{D}_R = -\gamma B_{\perp} \mathcal{N}^+ e^{-ikL/\gamma} \sin^{\gamma}(\tilde{k}d/\gamma) / \mathcal{L}, \quad (۳۱\text{ب})$$

$$\mathcal{E}_L = \gamma \mu i k B_{\perp} e^{-i\tilde{k}(d+l/\gamma)} \sin^{\gamma}(\tilde{k}d/\gamma) / \mathcal{L}, \quad (۳۲\text{الف})$$

$$\mathcal{E}_R = -iB_{\perp} e^{-i\tilde{k}l/\gamma} \left[ e^{-ikL} \mathcal{N}^+ \mathcal{K}^+ - e^{ikL} \mathcal{N}^- \mathcal{K}^- \right] / \gamma \tilde{\mu} \tilde{k} \mathcal{L}, \quad (۳۲\text{ب})$$

$$\mathcal{F}_L = \gamma \mu i k B_{\perp} e^{i\tilde{k}(d+l/\gamma)} \sin^{\gamma}(\tilde{k}d/\gamma) / \mathcal{L}, \quad (۳۳\text{الف})$$

$$\mathcal{F}_R = -iB_{\perp} e^{i\tilde{k}l/\gamma} \left[ e^{ikL} \mathcal{N}^- \mathcal{J}^- - e^{-ikL} \mathcal{N}^+ \mathcal{J}^+ \right] / \gamma \tilde{\mu} \tilde{k} \mathcal{L}, \quad (۳۳\text{ب})$$

که در آن

$$\mathcal{N}^{\pm} = \mu i k \cos(\tilde{k}d) \pm \tilde{\mu} \tilde{k} \sin(\tilde{k}d), \quad (۳۴)$$

$$\mathcal{L} = e^{ikL/\gamma} (\mathcal{N}^-)^{\gamma} - e^{-ikL/\gamma} (\mathcal{N}^+)^{\gamma}, \quad (۳۵)$$

$$\mathcal{J}^{\pm} = \mu i k \pm 2\tilde{\mu} \tilde{k} e^{i\tilde{k}d/\gamma} \sin(\tilde{k}d/\gamma), \quad (۳۶\text{الف})$$

$$\mathcal{K}^{\pm} = \mu i k \pm 2\tilde{\mu} \tilde{k} e^{-i\tilde{k}d/\gamma} \sin(\tilde{k}d/\gamma), \quad (۳۶\text{ب})$$

در نتیجه میدان جابه‌جایی در رابطه (۱۰) برای لایه چپ به صورت

$$u_{\pm L}(-l/2) - u_{\pm L}(-d-l/2) = \Omega_L n_{\pm L} + \Omega_R n_{\pm R}, \quad (۳۷)$$

و برای لایه راست به صورت

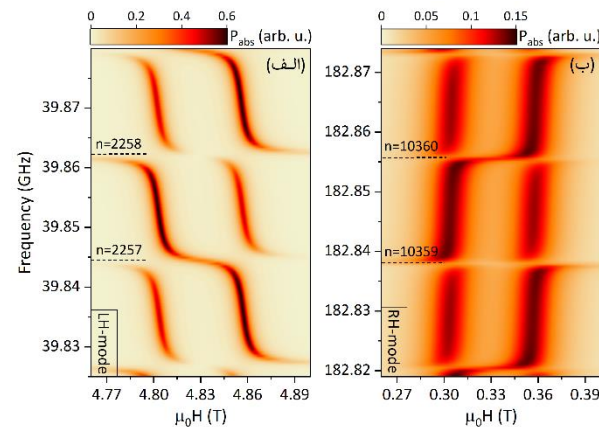
$$u_{\pm R}(d+l/2) - u_{\pm R}(l/2) = \Psi_L m_{\pm L} + \Psi_R m_{\pm R}, \quad (۳۸)$$

داده می‌شود، که در آن

$\omega_{\text{AFMR}} = \sqrt{K(K+9)} \pm H$ .  
 $\lambda_{\text{ph},n}/2 = (2d+l)/n$ , که در آن  $\omega_{\text{ph},n} = 2\pi c_{\perp}/\lambda_{\text{ph},n}$  طول موج فونونی با شماره مد  $n$  است, برابر می شود که سبب ایجاد دافعه ترازی در طیف جذب شده است. در فاصله بین یک مد فرد تا مد زوج و سپس تا مد فرد بعدی  $n=2257-2259$ , یک اختلاف در هر دو طیف جذب AFMR-RL و AFMR-LL کاملا مشهود است; به این دلیل که فونون های پمپ شده توسط دینامیک لایه چپ (راست) توسط لایه راست (چپ) جذب یا دفع می شوند. تداخل ایجاد شده در طیف جذب بیانگر جفت شدگی بلندبرد دینامیک دو لایه آنتنی فرومغناطیس با یکدیگر است.

پنهانی طیف جذب به پارامترهای مواد به ویژه ضریب میرایی و همچنین به بسامد نیز وابسته است. اختلاف پنهانی مشاهده شده در طیف جذب در دو مد راستگرد و چپگرد در شکل ۲ به اختلاف بسامدهای آنها مربوط می شود, به طوری که در مد راستگرد با بسامدهای بزرگ تر نسبت به مد چپگرد, پنهانی طیف جذب بیشتر است. به طور کلی با افزایش بسامد, پنهانی طیف جذب افزایش و توان جذب کاهش می یابد.

انتظار می رود که اتلاف فونون ها در ناحیه غیرمغناطیسی تعیین کننده حداکثر طول ناحیه غیرمغناطیسی برای دست یابی به یک جفت شدگی غیرمستقیم و مؤثر بین دینامیک دو لایه آنتنی فرومغناطیس باشد به طوری که هر چه کیفیت فونونی در این ناحیه بهتر و میرایی فونونی در آن ضعیفتر باشد در نتیجه تکانه زاویه ای می تواند به واسطه فونون ها در مقایس طول بلندتری منتقل شود. همچنین, حداقل طول لایه غیرمغناطیسی به طول موج فونون ها در این لایه و در لایه های آنتنی فرومغناطیس وابسته است. با فرض بسامد تشیدید آنتنی فرمغناطیس  $\omega_{\text{AFMR}}/2\pi = 40\text{GHz}$ , طول موج فونون ها در لایه غیرمغناطیسی  $\approx 90\text{nm}$  و در لایه آنتنی فرمغناطیس  $\omega_{\text{AFMR}}/2\pi \approx 120\text{nm}$  است. به ازای یک طول معین از لایه آنتنی فرمغناطیس  $d$ , حداقل طول  $2d/(\tilde{\lambda}/2) + l/(\lambda/2) = n$  مؤثر لایه غیرمغناطیسی در رابطه صدق می کند که در آن  $n=1, 2, \dots$  و متناسب با امواج ایستاده در طول کل سامانه است.



شکل ۲. طیف جذب موج میکرو برای (الف) مد چپگرد و (ب) راستگرد برای ساختار سه لایه  $\text{Cr}_2\text{O}_3/\text{GGG}/\text{Cr}_2\text{O}_3$  که ضخامت هر لایه آنتنی فرمغناطیس ۲۰۰ نانومتر و لایه غیرمغناطیسی ۰/۱ میلی متر است.

جدول ۱. پارامترهای استفاده شده در این پژوهش برای  $\text{Cr}_2\text{O}_3$  و GGG

$\theta/(2\pi)$ (THz)	$K/(2\pi)$ (GHz)	$B_{\perp}$ (MJ/m <sup>3</sup> )	$\mu_0 M_s$ (T)	$\eta/(2\pi)$ (MHz)	$c_{\perp}$ (m/s)	$\rho$ $(\text{kg}/\text{m}^3)$
۱۴/۲۸	۲/۱۲	۲/۸	۰/۳۳	۰/۳۵	۴۸۹۰	۵۲۰۰
-	-	-	-	۰/۳۵	۳۵۳۰	۷۰۸۰

پارامترهای استفاده شده برای  $\text{Cr}_2\text{O}_3$  و GGG در جدول ۱ ارائه شده است [۵ و ۲۴]. همچنین, برای ثابت میرایی ذاتی مقدار  $\alpha_G = 5 \times 10^{-5}$  در نظر گرفته شده است.

در شکل ۲ طیف جذب موج میکرو برای مد چپگرد (الف) و راستگرد (ب) برای ساختار سه لایه  $\text{Cr}_2\text{O}_3/\text{GGG}/\text{Cr}_2\text{O}_3$  بر حسب میدان مغناطیسی خارجی اعمالی و بسامد ارائه شده است. برای هر کدام از مدهای چپگرد و راستگرد دو خط جذب دیده می شود که یکی مربوط به تشیدید آنتنی فرمغناطیس لایه چپ (AFMR-LL) و دیگری مربوط به لایه راست (AFMR-RL) است که با اعمال  $\Delta H_0 = 3\pi\text{GHz}$  بین دو لایه ایجاد شده است. در هر دو مد, جفت شدگی مگنون-فونون به واسطه برهمنکش مغناطیکشسانی به صورت دافعه ترازی در طیف جذب آنتنی AFMR کاملا مشهود است. در برخی از بسامدها, بسامد مگنون ها در مد چپگرد (-) و راستگرد (+),

بررسی شد. جفت‌شدگی مگنون-فونون در هر لایه آنتی فرومغناطیس به صورت دافعهٔ ترازی در طیف جذب AFMR آن لایه مشاهده می‌شود. افزون بر این، پمپاژ فونون‌ها، که با خود تکانهٔ زاویه‌ای حمل می‌کنند، از هر لایه آنتی فرومغناطیس می‌تواند یک تداخل سازندهٔ یا ویرانگر در طیف جذب ایجاد کند که به ترتیب متناسب با جذب یا دفع فونون توسط لایهٔ دیگر است. این تداخل بیانگر جفت‌شدگی غیرمستقیم، بلندبرد و همدوس دینامیک دو لایه آنتی فرومغناطیس با یکدیگر است.

لازم به ذکر است که سامانه به ازای میدان‌های کمتر از میدان بحرانی ( $H = \sqrt{K(K+g)} / \gamma\mu_B$ ) که برای  $\text{Cr}_x\text{O}_3$  در حدود  $6\text{ T}$  است [۲۶]، در حالت پایهٔ آنتی فرومغناطیس باقی می‌ماند.

#### ۴. نتیجه‌گیری

دینامیک دو لایهٔ عایق آنتی فرومغناطیس که توسط یک لایهٔ عایق غیرмагناطیسی از یکدیگر جدا شده‌اند در حضور برهمنکنش مغناطیکشسانی با استفاده از معادلهٔ لاندائو-لیفسیتز-گلبرت

#### مراجع

1. L J Cornelissen, *et al.*, *Nat. Phys.* **11** (2015) 1022.
2. R Lebrun, *et al.*, *Nature* **561** (2018) 222.
3. S Streib, H Keshtgar, and G E W Bauer, *Phys. Rev. Lett.* **121** (2018) 027202.
4. K An, *et al.*, *Phys. Rev. B* **101** (2020) 060407.
5. A Ruckriegel and R A Duine, *Phys. Rev. Lett.* **124** (2020) 117201.
6. T Sato, *et al.*, *Phys. Rev. B* **104** (2021) 014403.
7. K An, *et al.*, *Phys. Rev. X* **12** (2022) 011060.
8. Y Tserkovnyak, *et al.*, *Rev. Mod. Phys.* **77** (2005) 1375.
9. D A Garanin and E M Chudnovsky, *Phys. Rev. B* **92** (2015) 024421.
10. J Holanda, *et al.*, *Nat. Phys.* **14** (2018) 500.
11. Y Li, *et al.*, *APL Mater.* **9** (2021) 060902.
12. C Berk, *et al.*, *Nat. Commun.* **10** (2019) 2652.
13. S M Rezende, *et al.*, *Phys. Rev. B* **103** (2021) 144430.
14. X Zhang, G E W Bauer, and T Yu, *Phys. Rev. Lett.* **125** (2020) 077203.
15. T Yu, *Phys. Rev. B* **102** (2020) 134417.
16. K Yamamoto, *et al.*, *JPSJ* **89** (2020) 113702.
17. M Xu, *et al.*, *Sci. Adv.* **6** (2020) eabb1724.
18. P J Shah, *et al.*, *Sci. Adv.* **6** (2020) eabc5648.
19. H Fulara, *et al.*, *Sci. Adv.* **5** (2019) eaax8467.
20. S M Rezende, A Azevedo, and R L Rodríguez-Suárez, *J. Appl. Phys.* **126** (2019) 151101.
21. M A Prosnikov, *et al.*, *Phys. Rev. B* **98** (2018) 104404.
22. J Li, *et al.*, *Phys. Rev. Lett.* **125** (2020) 217201.
23. S M Tabatabaei, R A Duine, and B Z Rameshti, *Phys. Rev. B* **104** (2021) 014432.
24. R Cheng, *et al.*, *Phys. Rev. Lett.* **113** (2014) 057601.
25. M Shirdel-Havar and B Zare, *Iran J. Phys. Res.* **22** (2022) 621.
26. S Foner, *Phys. Rev.* **130** (1963) 183.